

光ファイバを用いたNO₂分子の遠隔差分吸収分光計測

Remote Differential Absorption Measurement of NO₂ Molecules using Optical Fibers

小林 翁郎・平間 正幸・M. Hamza・稻場 文男
T. Kobayashi, M. Hirama, M. Hamza, H. Inaba

東北大学電気通信研究所

Research Institute of Electrical Communication, Tohoku University

1. はじめに

最近に至り、可視から近赤外域における低損失光ファイバの研究、開発が急速に進み、光通信のみならず光計測などへの利用も可能となつて来た。我々は光ファイバの新しい利用法として、遠隔地点の大気汚染分子濃度を測定する差分吸収分光計測方式を検討し、可視域Ar⁺レーザ光を用いてNO₂分子を検出する基礎的実験を行なつた。こゝでは、この計測方式の構成と基本的特性の一端を報告する。

2. 差分吸収分光計測法

NO₂の差分吸収分光測定装置のブロック図をFig. 1に示す。多波長同時発振のAr⁺レーザを光源として用いて、送信用多モードファイバ(N.A. = 0.2, d = 50 μm, 長さ 20~500 m)に集光して、NO₂吸収セルに伝送する。透過光は再び集光されて受信用多モードファイバ(N.A. = 0.4, d = 150 μm, 長さ 40~500 m)で送信束に戻され、NO₂の吸収の大きい入射波長λ₁ = 496.5 nmと、吸収の小さいλ₂ = 514.5 nmの2波長をファイバ出力型の分光器で分光して、2個のフォトマレで同時に検出される。参照光もグレーティングで分光して2波長出力をフォトダイオードで検出して、受信光出力と共に演算回路に入れて2波長の吸収の差分値より分子濃度が求められレコーダー上に記録される。單一波長でも吸収測定が可能であるが、2波長差分方式によることによってレーザ出力のゆらぎの補正是勿論のこと、ファイバの伝送特性の変動の補正、他ガスによるスペクトル干渉雜音の除去が可能となる、測定精度と感度の向上が期待出来る。

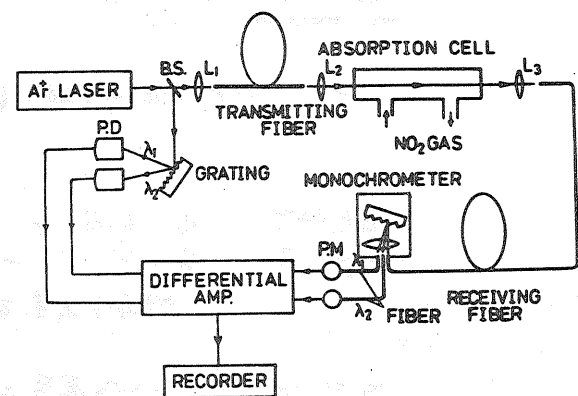
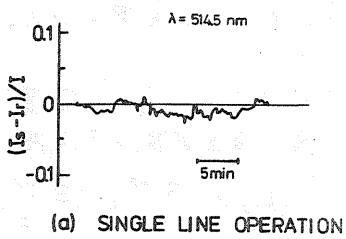
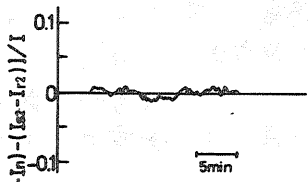


Fig. 1 NO₂ 差分吸収分光計測装置



(a) SINGLE LINE OPERATION



(b) DIFFERENTIAL OPERATION

Fig. 2 単一波長動作(a)と2波長動作(b)の出力変動

3. 装置の動作特性

Fig. 2 に 単一波長動作と2波長動作の出力成分の変動の一例を示す。前者(a)では測定誤差 ε = ±2.5 %, 後者(b)では ε = ±1 % が得られた。これらの誤差は主にファイバのモード

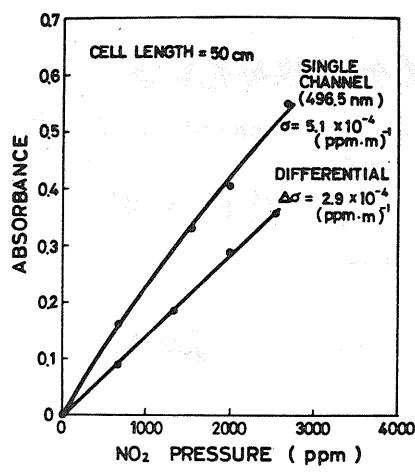


Fig. 3 NO_2 壓力に対する吸収量の測定値

ド変化による受信光強度の変動に起因している。ファイバへの入射光の条件の最適化によって2次成長率が α をさすに1~2桁減少出来るものと考えられる。

Fig. 3 にセル長 50 cm の場合の NO_2 濃度に対する吸収量の変化を示す。又波長差 $\Delta\sigma$ の差分吸収断面積 $\Delta\sigma = 2.9 \times 10^{-4} (\text{ppm} \cdot \text{m})^{-1}$ の値は、ガスの純度を考慮しない値であるが、この補正により多少増大するものと思われる。

4. NO_2 吸収測定の S/N と感度

本方式⁽²⁾の最少検出可能分子濃度は

$$N_{\min} = \frac{1}{\Delta\sigma l} \left\{ \left(\frac{S}{N}\right)_S^2 + \left(\frac{S}{N}\right)_F^2 + S_p^2 \right\}^{1/2} \quad (1)$$

で表される。ここで、 $\Delta\sigma$: 差分吸収断面積、 l : セルの光路長、 $(S/N)_S$: シャット雜音制限による信号対雜音比、 $(S/N)_F$: ファイバモード変化による S/N 、 S_p : 信号処理部の誤差である。また、検出器の受信光電力は次式⁽²⁾とされる。

$$P_{rn} = P_{on} K_n \exp\{-\alpha_{tn} + \alpha_{rn}\} L \cdot \exp\{-N\delta_n + \beta_n\} l \quad (2)$$

ここで、 P_{on} : レーザ出力 ($n=1, 2$)、 K_n : 全光学系効率、 α_{tn}, α_{rn} : 送信、受信ファイバ減衰係数、 L : ファイバ長、 N : 分子濃度、 δ_n : 吸収断面積、 β_n : 他のガスによる干渉雜音成分である。本方式の検出感度の概算値を示すため、Fig. 4 にファイバ長に対する $(S/N)_S$ と感度 S ($= N_{\min} \cdot l$) の計算結果を示す。 $P_o = 10 \text{ mW}$ とし、

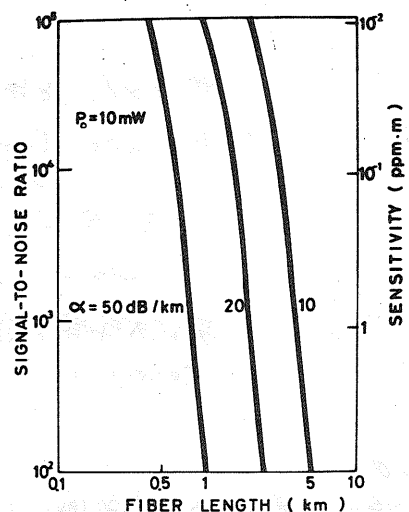


Fig. 4 ファイバ長に対する $(S/N)_S$ と検出感度の変化

$\alpha_{tn} = \alpha_{rn} = \alpha$ をパラメータとしている。現在のファイバの値 $\alpha = 20 \text{ dB/km}$ では $(S/N)_S = 100$ では $L = 3 \text{ km}$ のファイバ長が可能となり、さらに P_o の値を増大すれば L の増大が可能である。この場合にセル光路長 $l = 100 \text{ m}$ では $N_{\min} = 0.1 \text{ ppm}$ の大気濃度レベルの検出が出来る。

5. 本研究

ファイバを用いた差分吸収測定方式の装置⁽²⁾における信号対雜音比として $(S/N) = (S/N)_F = 100$ が得られたが、さうにこの値の増大を検討していこう。

本方式⁽²⁾現状のファイバ技術⁽³⁾を数 km の距離まで精度良く測定出来る可能性がある。色選レーザ等の波長可変レーザを使って波長の最適化を行なえば測定感度が更に向上出来る。さうに、近赤外や近紫外域のレーザを用い、多数のファイバを切換えて使用することによって広域にわたる多種類の分子濃度の計測システムが構成できるものと考えられる。